

Gheorghe MANOLACHE

CALCULUL ȘI CONSTRUCȚIA AUTOVEHICULELOR RUTIERE 1

- ELEMENTE ALE TRANSMISIEI A.R. -

ÎNDRUMAR PENTRU

PROIECTUL SEMESTRIAL

IAȘI

– 2011 –

Cuprins

Tema proiectului.....	5
Date inițiale.....	5
Trasarea caracteristicii de turație la sarcină totală.....	5
Determinarea raportului transmisiei principale.....	12
Etajarea cutiei de viteze.....	13
Proiectarea ambreiajului.....	17
Determinarea momentului de calcul.....	18
Determinarea forței de apăsare necesare.....	21
Verificarea la uzură.....	22
Verificarea la încălzire.....	24
Calculul arcului diafragmă.....	28
Calculul de rezistență al arcului tip diafragmă.....	35
Calculul arborelui ambreiajului.....	37
Calculul mecanismului de acționare.....	40
Calculul cutiei de viteze mecanice, în trepte.....	43
Diametrele de divizare ale roților dințate.....	46
Soluția de fixare și blocare a treptei de viteză.....	48
Schema cinematică a cutiei de viteze.....	48
Dimensionarea arborilor din diagramele de încărcare.....	50

Bibliografie

1. Abăităncei, D., Hașegan , C., Stoica, I., Claponi, D., Cihodaru, I.: **Motoare pentru automobile și tractoare – Construcție și tehnologie**, vol. 2, Ed. Tehnică, București, 1980.
2. Aramă, C., §.a.: **Automobilul de la A la Z**, Ed. Militară, București, 1985.
3. Cernea, E.: **Mașini termice cu pistoane libere**, Ed. Militară, București, 1960.
4. Constantinescu, P.: **Motorul termic și turbina**, Ed. Tineretului, București, 1968.
5. Creța, G.: **Turbine cu abur și gaze**, Ed. Didactică și Pedagogică, București, 1981.
6. Cristea, P.: **Practica automobilului**, vol. 2, Ed. Tehnică, București, 1966.
7. Cristescu, D., Răducu, V.: **Automobilul. Construcție. Funcționare. Depanare**, Ed. Tehnică, București, 1986.
8. Frățilă, Gh.: **Noutăți în automobilism**, Ed. Tehnică, București, 1968.
9. Heinz Heisler: **Advanced Engine Technology**, SAE International, 1995.
10. Heinz Heisler: **Advanced Vehicle Technology**, Elsevier Science, Reed Educational and Professional Publishing, 2nd edition, 2002.
11. Ispas, Șt.: **Motorul turboreactor**, Ed. Tehnică, București, 1981.
12. Kirillin, V.A., Sîcev, V.V., Ţeindlin, A.E.: **Termodinamica**, ed. a II-a, Ed. Științifică și Enciclopedică, București, 1985.
13. Manea, Gh.: **Organe de mașini**, vol. I, Ed. Tehnică, București, 1970.
14. Moțoc, I., Popescu, I.: **Autobuze cu motoare Diesel orizontale**, Ed. Tehnică, București, 1979.
15. Rakosi, E., Roșca, R., Manolache, Gh.: **Ghid de proiectare a motoarelor de automobil**, Editura "Politehnium" Iași, 2004.
16. Rakosi, E., Roșca, R., Manolache, Gh.: **Sisteme de propulsie pentru automobile**, Editura "Politehnium" Iași, 2006.
17. Roșca, R.: **Autovehicule rutiere și tractoare**, vol. I, Ed. "Cutia Pandorei", Vaslui, 2002,
18. Roșca, R., Rakosi, E., Vâlcu V., Manolache, Gh.: **Autovehicule rutiere și tractoare**, vol. II, Editura "Politehnium" Iași, 2004.
19. Roșca, R., Rakosi, E.: **Sisteme neconvenționale de propulsie și transport**, Editura "Gh. Iași" Iași, 2003.
20. Roșca, R., Rakosi, E., Manolache, Gh., Roșu, V.: **Elemente de tehnologia autovehiculelor**, Editura "Politehnium" Iași, 2005.
21. Slătineanu, R.: **Simbolizări și corespondențe de oțeluri**, Centrul de documentare și Publicații Tehnice al Industriei Metalurgice, București, 1973.
22. Smilaenov, B., Ilov, T., Milošova, M.: **Traktorî i avtomobili**, Sofia, 1980.

23. Tecușan, N., Ionescu, E.: **Tractoare și Automobile**, Ed. Didactică și Pedagogică, București, vol.2, 1980.
24. Urdăreanu, T., Gorianu, M., Vasiliu, C., Canță, T.: **Propulsia și circulația autovehiculelor cu roți**, Ed. Științifică și Enciclopedică, București, 1987.
25. * * * **High Power Rating Timing Drives. Methode de calcul**, Pirelli Power Transmission.
26. * * * <http://www.carbibles.com>
27. * * * **ISORAN, Synchronous drives calculation handbook**, Pirelli Group.
28. * * * **Standarde Române, Catalog 2002**, Ed. Tehnică, București, 2002.
29. * * * **Volvo – ECT – Environmental Concept Truck**, Volvo Truck Corporation, Göteborg, Sweden, 1997.
30. * * * **Suport de curs la disciplina Calculul și Construcția Autovehiculelor Rutiere 1**

Tema proiectului

Să se proiecteze următoarele elemente ale transmisiei unui autovehicul:

1. Ambreiajul. Mecanismul de acționare
2. Cutia de viteze

Date inițiale (preluate din catalogul mașinii)

Autovehicul: Rover 45 2.0 iDT

Se impun următorii parametri dinamici:

$V_{max} = 170 \text{ km/h}$ (viteza maximă)

$G_0 = 1230 \text{ kgf} = 12100 \text{ N}$ (greutatea autovehiculului gol)

$N_p = 5$ pasageri

Dimensiuni pneuri: 195/55 R15

Dimensiuni autovehicul: $l = 1652 \text{ mm}$; $h = 1390 \text{ mm}$

Panta maximă urcată în treapta I a cutiei de viteze: $\alpha_{max} = 17^\circ - 19^\circ$

$P_{max} = 74 \text{ kW} / n_p = 4200 \text{ rpm}$ (puterea maximă)

$M_{max} = 240 \text{ Nm} / n_M = 2000 \text{ rpm}$ (cuplul maxim)

Etapa I:

I. Trasarea caracteristicii externe (Caracteristica de turătie la sarcină totală)

Pentru calculul organelor de transmisie este necesară trasarea acestei caracteristici la scară. Caracteristica va rezulta în urma calculelor din această etapă.

A. Trasarea curbei de putere

Pentru trasarea curbei de putere se calculează puterea la viteza maximă $P_{v_{max}}$ și puterea maximă dezvoltată de motor P_{max} .

$$P_{v_{max}} = \frac{G_a \cdot f \cdot v_{max} + \frac{k \cdot A \cdot v_{max}^3}{13}}{367 \cdot \eta_t}$$

, în care:

- G_a [kgf] – greutatea totală a autovehiculului;

$$G_a = G_0 + N_p \cdot (G_p + G_b), \text{ unde:}$$

- G_p – greutate pasageri;

$$G_p = 75 \text{ kgf}$$

- G_b – greutate bagaje;

$$G_b = 20 \text{ kgf}$$

$$G_a = G_0 + N_p \cdot (G_p + G_b) = 1230 + 5 \cdot 95 = 1705 \text{ kgf}$$

- f – coeficientul de rezistență la rulare;

$$f = 1,65 \cdot 10^{-2} \cdot [1 + 6,5 \cdot 10^{-3} (v - 50)]$$

Obs.: Relație valabilă pentru $v > 50$ [km/h]

$$f = 1,65 \cdot 10^{-2} (1 + 6,5 \cdot 10^{-3} \cdot 120)$$

$$f = 0,02937$$

- k – coeficient aerodinamic [daN· $s^2 \cdot m^{-4}$];

$k = 0,02 \dots 0,035$ [daN· $s^2 \cdot m^{-4}$] – se alege în funcție de aerodinamicitatea autovehiculului

$$k = 0,021$$

- A [m^2] - aria secțiunii transversale a autovehiculului;

$$A = H \cdot l \cdot c_c$$

H – înălțimea autovehiculului

l – lățimea

c_c - coef. de corecție

$$c_c = 0,98 \dots 1$$

$$A = 0,98 \cdot 1,652 \cdot 1,39 = 2,25035$$

$$\eta_t = 0,9$$

$$v_{max} = 170$$

$$Pv_{max} = \frac{G_a \cdot f \cdot v_{max} + \frac{k \cdot A \cdot v_{max}^3}{13}}{367 \cdot \eta_t}$$

$$Pv_{max} = \frac{1705 \cdot 0,02937 \cdot 170 + \frac{0,021 \cdot 2,25035 \cdot 170^3}{13}}{367 \cdot 0,9}$$

$$P_{v_{max}} = 79,84 [kW]$$

Puterea maximă dezvoltată de motor se calculează pornind de la puterea la viteza maximă, cu raportul:

$$P_{max} = P_{v_{max}} / f\left(\frac{n_{v_{max}}}{n_p}\right), \text{ unde:}$$

$n_{v_{max}}$ [rpm] – turația la viteza maximă

$$n_{v_{max}} = 3780 [\text{rpm}]$$

n_p [rpm] – turația la putere maximă

$$f\left(\frac{n_{v_{max}}}{n_p}\right) = \alpha_1 \cdot \frac{n_{v_{max}}}{n_p} + \alpha_2 \cdot \left(\frac{n_{v_{max}}}{n_p}\right)^2 + \alpha_3 \cdot \left(\frac{n_{v_{max}}}{n_p}\right)^3$$

$\alpha_1, \alpha_2, \alpha_3$ - coeficienți ce depind de $C_e = \frac{n_M}{n_p}$ (coef. de elasticitate a motorului)

$$\alpha_1 = \frac{3 - 4C_e}{2(1 - C_e)}$$

$$\alpha_2 = \frac{2C_e}{2(1 - C_e)}$$

$$\alpha_3 = -\frac{1}{2(1 - C_e)}$$

$$C_e = \frac{n_M}{n_p} = \frac{2000}{4200} = 0,47619$$

$$\alpha_1 = \frac{1,09524}{1,04762} = 1,04545$$

$$\alpha_2 = 0,90908$$

$$\alpha_3 = -0,95454$$

$$\frac{n_{v_{max}}}{n_p} = 1,05 \div 1,25 \text{ (MAS)}$$

$$\frac{n_{v_{max}}}{n_p} = 0,9 \div 1 \text{ (MAC)}$$

Din datele inițiale se adoptă turația la putere maximă, n_p , apoi se calculează $n_{v_{max}}$, respectând plajele uzuale de valori de mai sus.

Obs.: Se acceptă că $n_{v_{max}} \cong n_{max}$.

$$f\left(\frac{n_{v_{max}}}{n_p}\right) = 1,04545 \cdot 0,9 + 0,90908 \cdot (0,9)^2 - 0,95454 \cdot (0,9)^3$$

$$f\left(\frac{n_{v_{max}}}{n_p}\right) = 0,940905 + 0,7363548 - 0,69585966 = 0,9814$$

$$P_{max} = \frac{79,84}{0,9814} = 81,35 \text{ [kW]}$$

Obs.: Ca și verificare, dacă P_{max} rezultă din calcule mult mai mare decât puterea maxima a autovehiculului luat ca model se poate micșora coeficientul aerodinamic. În cazurile în care diferența este foarte mare se va micșora viteza maximă impusă prin tema proiectului cu până la 10-15%.

Notă:

Calculul puterii efective, descris în cele ce urmează se face tabelat pentru valori ale turației, cuprinse între $n_{min\ stabil}$ - turația minimă stabilă și n_{max} , cu pasul de 100 rpm. La obținerea punctului (valorii) de maxim a puterii efective $P_e = P_{max}$ - pentru $n = n_p$ pasul se poate micșora, înainte și după n_p lq 50 rpm, pentru o bună evidențiere a zonei de maxim.

Astfel, se stabilește turația minimă stabilă:

$$n_{min\ stabil} = n_{min} + (100 \div 200) \text{ [rpm]}, \text{ unde:}$$

$$n_{min} \cong (0,15 \div 0,2) \cdot n_p$$

P_e - puterea efectivă la turația n este dată de relația:

$$P_e(n) = P_{max} [\alpha_1 \cdot \frac{n}{n_p} + \alpha_2 \cdot \left(\frac{n}{n_p}\right)^2 + \alpha_3 \cdot \left(\frac{n}{n_p}\right)^3], unde:$$

$$n = n_{min\ stabil}, n_{min\ stabil}, n_{min\ stabil} + 100, n_{min\ stabil} + 200, \dots, n_{max}$$

B. Curba de moment

Momentul efectiv la o turație dată (n) este:

$$Me_{(n)} = 9,55 \cdot 10^3 \cdot \frac{Pe [kW]}{n [rpm]} [N \cdot m]$$

C. Curba de consum specific

$$c_{e(n)} = c_{min} \cdot \frac{M_{max}}{Me_n} [g/kW oră]$$

$$c_{min} = 280 - 340 - MAS$$

$$c_{min} = 230 - 280 - MAC$$

D. Curba de consum orar

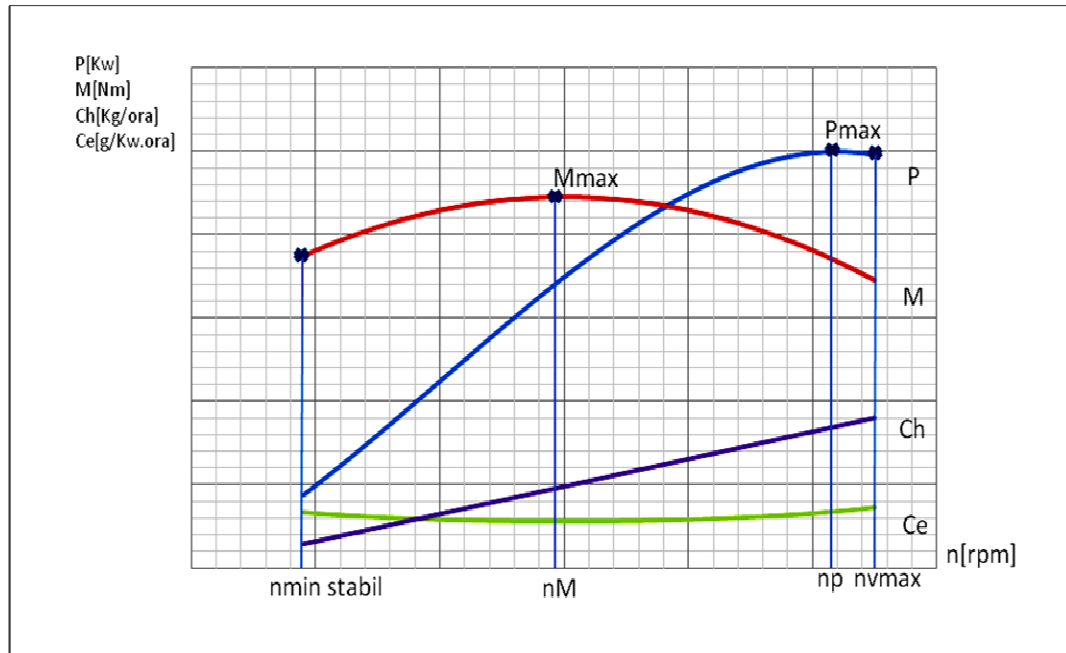
$$C_h = c_e \cdot \frac{Pe_n}{10^3} [kg/oră]$$

$$n_{min} \cong (0,15 \div 0,2) \cdot n_p = 0,17 \cdot 4200 = 714 [rpm]$$

$$n_{min\ stab.} = 714 + 176 = 890 [rpm]$$

Tabel 1:

n [rpm]	Pe [kW]	Me [Nm]	Ch [kg/h]	ce [g/kWh]
890	20,60385	221,0862	5,591623	271,3873
990	23,13886	223,2082	6,219895	268,8073
1090	25,69546	225,13	6,848168	266,5127
1190	28,26737	226,8516	7,47644	264,4901
1290	30,84828	228,373	8,104712	262,7281
1390	33,43193	229,6942	8,732984	261,2169
1490	36,012	230,8152	9,361257	259,9482
1590	38,58223	231,736	9,989529	258,9153
1690	41,13631	232,4567	10,6178	258,1126
1790	43,66797	232,9771	11,24607	257,536
1890	46,1709	233,2974	11,87435	257,1824
1990	48,63883	233,4175	12,50262	257,0501
2090	51,06546	233,3374	13,13089	257,1384
2190	53,44451	233,0571	13,75916	257,4476
2290	55,76969	232,5766	14,38743	257,9795
2390	58,0347	231,896	15,01571	258,7367
2490	60,23327	231,0151	15,64398	259,7232
2590	62,35909	229,9341	16,27225	260,9443
2690	64,40589	228,6529	16,90052	262,4065
2790	66,36737	227,1715	17,5288	264,1177
2890	68,23724	225,4899	18,15707	266,0874
2990	70,00923	223,6081	18,78534	268,3266
3090	71,67703	221,5261	19,41361	270,8485
3190	73,23436	219,2439	20,04188	273,6678
3290	74,67493	216,7616	20,67016	276,8018
3390	75,99245	214,079	21,29843	280,2703
3490	77,18064	211,1963	21,9267	284,0959
3590	78,2332	208,1134	22,55497	288,3044
3690	79,14385	204,8303	23,18325	292,9254
3790	79,9063	201,347	23,81152	297,993
3840	80,22998	199,5303	24,12565	300,7062
3890	80,51425	197,6635	24,43979	303,5461
3940	80,75833	195,7467	24,75393	306,5186
3990	80,96143	193,7799	25,06806	309,6297
4040	81,12276	191,763	25,3822	312,8863
4090	81,24154	189,696	25,69634	316,2955
4140	81,31698	187,579	26,01047	319,8652
4190	81,34829	185,412	26,32461	323,6037
4200	81,34919	184,9726	26,38743	324,3724



II. Determinarea raportului transmisiei principale i_0

Se face din condiția de viteza maximă a autovehiculului în treapta de viteza cu raport unitar ($i_{CV} = 1$).

$$i_0 = \frac{\pi \cdot n_{v\ max} \cdot r_r}{30 \cdot v_{max}}, \text{ unde:}$$

v_{max} [m/s]

$n_{v\ max}$ [rpm]

r_r – raza de rulare [m]

$$r_r = \frac{d}{2} + H \text{ [m]}$$

$$d = 15'' = 15 \cdot 25,4 = 381 \text{ [mm]} = 0,381 \text{ [m]}$$

H – înălțimea pneului

$$H = 0,55 \cdot 195 = 107,25 \text{ [mm]} = 0,10725 \text{ [m]}$$

$$r_r = \frac{0,381}{2} + 0,10725 = 0,29775 \text{ [m]}$$

$$n_{v_{max}} = 0,9 \cdot 4200 = 3780 \text{ [rpm]}$$

$$i_0 = \frac{\pi \cdot 3780 \cdot 0,29775}{30 \cdot 47,22} = 2,4947$$

III. Etajarea Cutiei de Viteze:

Raportul de transmitere în treapta I se determină din condiția de pantă maximă impusă, pantă pe care autovehiculul trebuie să o urce în această treaptă de viteză, cu motorul funcționând pe **caracter de turație la sarcină totală**, la turația de **cuplu maxim**, n_M .

Forța la roată sau forța de tracțiune, necesară în acest caz este:

$$F'_r = F_{t_{max}} = G_a(f \cdot \cos \alpha_{max} + \sin \alpha_{max}) \text{ [N]}, \text{ unde:}$$

$G_a \text{ [N]}$ – greutatea autovehiculului;

$\alpha_{max} \text{ [grade]}$ – pantă maximă impusă;

f - coeficientul de rezistență la rulare

(viteza fiind mică, se poate aproxima cu $f = (1,4 - 1,6) \cdot 10^{-2}$)

Se observă că s-a neglijat rezistența aerului, deoarece viteza are valori reduse.

Raportul în treapta I are expresia:

$$i_{cv_I} = \frac{Ft_{max} \cdot r_r}{M_{max} \cdot i_0 \cdot \eta_t}, unde:$$

Ft_{max} [N]

r_r [m] - raza de rulare

M_{max} [N · m] - momentul (cuplul) maxim

$$\begin{aligned} F'_r = Ft_{max} &= G_a(f \cdot \cos\alpha_{max} + \sin\alpha_{max}) = 1705(0,02937 \cdot \cos 17^\circ + \sin 17^\circ) \\ &= 1705(0,02937 \cdot 0,9563 + 0,2923) = 5358,8 \text{ [N]} \end{aligned}$$

$$i_{cv_I} = \frac{Ft_{max} \cdot r_r}{M_{max} \cdot i_0 \cdot \eta_t} = \frac{5358,8 \cdot 0,29775}{233,4185 \cdot 2,4947 \cdot 0,9} = 3,04$$

Rapoartele de transmitere ale schimbătorului de viteze sunt în progrese geometrică, cu o rație $q = \frac{n_2}{n_1}$ (rație de etajare). Rația progresiei geometrice și numărul treptelor de viteză sunt alese astfel încât să fie îndeplinită condiția: $v_{max_{tr,infer}} = v_{max_{tr,super}}$.

Cele două turații, n_1 și n_2 sunt turațiile între care motorul funcționează stabil și trebuie să îndeplinească condiția: $n_M \leq n_1 \leq n_2 \leq n_{v_{max}}$.

Pentru treapta k de viteză avem: $i_{cv_k} = \frac{i_{cv_I}}{q^{k-1}}$.

Considerând k treapta maximă de viteză ca fiind treaptă cu raport de transmitere unitar (fără treaptă de supraviteză), vom avea

$$i_{cv_k} = 1 \Rightarrow q^{k-1} = i_{cv_I} \Rightarrow k = 1 + \frac{\ln i_{cv_I}}{\ln q}$$

Pentru calculul efectiv, se procedează mai întâi la stabilirea unei rații de etajare inițială q , considerând pentru început:

$q^* = \frac{n_{v_{max}}}{n_M} \Rightarrow$ numărul minim al treptelor de viteză:

$$k_{min} \geq 1 + \frac{\ln i_{cvI}}{\ln q}$$

Se rotunjește k_{min} la valoarea imediat superioară și obținem numărul treptelor de vitează, k .

$$k = \left[1 + \frac{\ln i_{cvI}}{\ln q} \right] + 1, \text{ unde [...] reprez. partea întreagă.}$$

Cu această nouă valoare, k , se calculează apoi rația de etajare a cutiei de viteze

$q = \sqrt[k-1]{i_{cvI}}$, rație care se utilizează în calculul celorlalte trepte de vitează, după formula:

$$i_{cv_k} = \frac{i_{cvI}}{q^{k-1}}.$$

Notă:

Dacă se dorește adoptarea unei trepte de supraviteză se stabilește raportul acesteia $i_{cv_{k+1}} = 0,7 \div 0,8$.

Observație:

În urma acestei etape se trasează caracteristica externă pe hârtie milimetrică.

$$q^* = \frac{n_{v_{max}}}{n_M} = \frac{3780}{2000} = 1,89$$

Numărul minim al treptelor de vitează va fi:

$$k_{min} \geq 1 + \frac{\ln i_{cvI}}{\ln q} \Rightarrow k_{min} \geq 1 + \frac{\ln i_{cvI}}{\ln q} = 2,746619$$

$$k \geq [2,746619] + 1 \Rightarrow k = 4$$

$$q = \sqrt[3]{3,04} = 1,4486312$$

$$i_{cv_k} = \frac{i_{cvI}}{q^{k-1}}$$

$$i_{c_2} = 2,09853$$

$$i_{c_3} = 1,44863$$

$$i_{c_4} = 1$$

$$i_{c_5} = 0,6903$$

Pentru o treaptă de viteză oarecare, j, avem:

$$v_j = \frac{\pi \cdot n}{30} \cdot \frac{r_r}{i_0 \cdot i_{cv_j}} \Rightarrow v_j = ct. \cdot \frac{n}{i_{cv_j}}$$

$$ct. = \frac{\pi \cdot r_r}{30 \cdot i_0} = \frac{3,14 \cdot 0,29775}{30 \cdot 2,4947} = 0,012492283$$

Etapa a II-a:

Proiectarea Ambreiajului

Din etapa anterioară se adoptă $P_{max} [kW]/n_p$, $M_{max} [Nm]/n_M$ (din diagramă se iau valori rotunjite).

Rolul ambreiajului:

Ambreiajul este elementul de legătură dintre motor și transmisie și are rolul de a permite decuplarea motorului de transmisie și ulterior cuplarea progresivă a acestora.

- Condiții impuse la decuplare:

Decuplarea este necesară la pornirea de pe loc, dar și în timpul deplasării, pentru schimbarea treptelor de viteză. De altfel, decuplarea trebuie realizată și în staționare, când motorul este pornit, și la frânare, când turația motorului tinde să scadă sub cea stabilă.

- Condiții impuse la cuplare:

La pornirea de pe loc, accelerații mai mari de $3 \div 4 \frac{m}{s^2}$ conduc la disconfortul pasagerilor, la producerea unor avariile ale încărcăturii și la suprasolicitarea organelor de transmisie. Efortul la pedală trebuie să nu fie prea mare, iar cursa pedalei trebuie să aibă o valoare relativă redusă.

Cerința principală impusă ambreiajelor este ca momentul pe care îl poate transmite să fie reglabil, lucru care poate fi obținut prin mai multe soluții constructive, dintre care cea mai simplă este soluția cu discuri de fricțiune. Ambreiajul automobilului servește la decuplarea temporară și la cuplarea lină a transmisiei cu motorul.

Decuplarea este necesară la oprirea și frânarea automobilului sau la schimbarea vitezelor. Cuplarea lină este necesară la pornirea din loc și după schimbarea vitezelor. Prin decuplarea motorului de transmisie roțile dințate din cutia de viteze nu se mai află sub sarcină și cuplarea lor se poate face fără eforturi mari între dinți. În caz contrar, schimbarea vitezelor este aproape imposibilă, funcționarea cutiei de viteze

este însotită de zgomot puternic, uzura dinților este deosebit de mare și se poate produce chiar ruperea lor. Cuplarea lină a arborelui cutiei de viteze cu arborele cotit al motorului, care are turația relativ mare, asigură creșterea treptată și fără socuri a sarcinii la dinții roților dințate și la piesele transmisiei, fapt care micșorează uzura și elimină posibilitatea ruperii lor.

1. Determinarea momentului de calcul M_c

Momentul de calcul al ambreiajului $M_c = \beta \cdot M_{max}$, unde $\beta = 1,3 \div 1,75$ - coeficient de siguranță.

Alegerea valorii coeficientului de siguranță β se face ținându-se seama de tipul și destinația automobilului, precum și de particularitățile ambreiajului.

Pentru valori mari ale coeficientului de siguranță se reduce intensitatea patinării ambreiajului, deci și lucrul mecanic de patinare, crește durata de funcționare a ambreiajului, se reduce timpul de ambreiere și se îmbunătățesc performanțele dinamice ale automobilului.

Mărirea exagerată a coeficientului de siguranță conduce la apariția unor suprasarcini în transmisie, în special la frânarea bruscă a automobilului, precum și mărirea forței necesare decuplării ambreiajului.

Reducerea valorii coeficientului de siguranță a ambreiajului conduce la o bună protecție a transmisiei la suprasarcini, dar la o uzură mai mare a discurilor, deoarece patinarea ambreiajului este mai intensă. Forța necesară decuplării este mai redusă.

Transmiterea integrală a momentului motor și după uzarea maximă normală a garniturilor de frecare înseamnă că, în această situație limită, coeficientul de siguranță al ambreiajului să fie mai mare sau cel mult egal cu unu.

Obs.: La alegerea β se ține seama de tipul și destinația autovehiculului, precum și de particularitățile constructive.

În timpul exploatarii autovehiculului, β se micșorează ca urmare a uzurii continue de frecare. Prin micșorarea grosimii acestora, arcul se destine, aşadar scade forța de apăsare inițială.

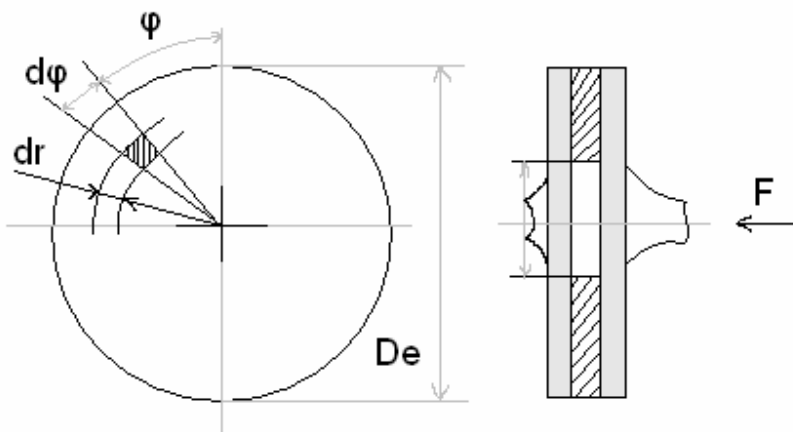
Pentru evitarea patinării, $\beta \geq 1$.

Se adoptă $\beta = > M_C = \dots [Nm]$.

$$\beta = 1,3$$

$$M_C = \beta \cdot M_{max} = 1,3 \cdot 233,42 = 303,44 [Nm]$$

2. Determinarea momentului de frecare al ambreiajului:



Forța normală elementară pe elementul de arie dA este:

$$dF = p \cdot dA$$

Forța de frecare elementară:

$$dF_f = \mu \cdot dF = \mu \cdot p \cdot r^2 dr \cdot d\varphi, \text{ unde } \mu = 0,25 \div 0,30^{(0,4-0,5)} \text{ (coef. de frecare azbest-fontă).}$$

p – presiunea dintre suprafețele elementare

$$M_f = \mu \cdot p \cdot \int_0^{\frac{D_e}{2}} \int_{-\frac{D_i}{2}}^{\frac{D_e}{2}} r^2 dr d\varphi = \frac{2\pi}{3} \cdot \mu \cdot p = \left[\left(\frac{D_e}{2} \right)^2 - \left(\frac{D_i}{2} \right)^2 \right]$$

$$\text{Presiunea } p = \frac{F}{Af}, \text{ unde:}$$

F – forța de apăsare asupra discului de ambreiaj, considerată uniform

distribuită pe suprafața de frecare A_f .

$$p = \frac{F}{\frac{\pi}{4} (D_e^2 - D_i^2)}$$

$$M_f = \frac{1}{3} \mu \cdot F \cdot \frac{D_e^3 - D_i^3}{D_i^2 - D_e^2} = \frac{2}{3} \cdot \mu \cdot F \cdot \frac{R_e^3 - R_i^3}{R_i^2 - R_e^2}$$

Cum un disc de ambreiaj are două suprafețe de frecare, relația de calcul pentru un ambreiaj cu n discuri devine:

$$M_f = \mu \cdot F \cdot i \cdot \frac{2}{3} \cdot \frac{R_e^3 - R_i^3}{R_e^2 - R_i^2} = \mu \cdot F \cdot i \cdot R_m, \text{ unde:}$$

$$i = 2n_d,$$

$n_d = 1$ pentru ambreiaj monodisc

$$i = 2$$

$$R_e, R_i [m]$$

$$F [N]$$

3. Determinarea dimensiunilor garniturilor de frecare

Suprafețele garniturilor de frecare se calculează cu relațiile:

$$A = \gamma \cdot M_{max} [cm^2], \text{ unde:}$$

γ – coef. care depinde de tipul automobilului și tipul ambreiajului

$\gamma = 25 \div 30 \text{ cm}^2/\text{daN} \cdot \text{m}$ pentru autoturisme.

$$\gamma = 26 \text{ cm}^2/\text{daN} \cdot \text{m}$$

$$A = 26 \cdot 23,34 = 606,84 \text{ cm}^2$$

Se adoptă $\gamma \Rightarrow A_{ef} = \dots [cm^2]$ și se calculează R_e și R_i .

$$R_e = \sqrt{\frac{\gamma \cdot M_{max} [daN \cdot m]}{\pi(1 - c^2) \cdot i}}$$

$$C = \frac{R_i}{R_e} = 0,53 \div 0,75$$

$\Rightarrow R_e = \dots [cm] \Rightarrow$ se rotunjeste conf. STAS 7793 – 67

$\Rightarrow R_e STAS = \dots [cm], R_i STAS = \dots [cm]$

$D_e = \dots [mm]$

$D_i = \dots [mm]$

$R_e = 12,28 [cm]$

$R_e STAS = 125 [mm]$

$R_i STAS = 77,5 [mm]$

$D_e = 250 [mm]$

$D_i = 155 [mm]$

Recalculăm $A_{ad} = \pi(R_e^2 - R_i^2) \Rightarrow A_d = \dots [cm^2]$

$A_d = 604,05 [cm^2]$

Se calculează raza medie a suprafeței de frecare:

$$R_M = \frac{2}{3} \cdot \frac{R_e^3 - R_i^3}{R_e^2 - R_i^2} \Rightarrow R_m = \dots [mm].$$

$R_m = 103,106 [mm]$

4. Determinarea forței de apăsare necesare:

Din condiția $M_f = M_C$ ($\Rightarrow M_f = \dots [Nm]$)

$M_f = 303,47 [Nm]$

$$\Rightarrow \mu \cdot F \cdot i \cdot R_M = \beta \cdot M_{max} \Rightarrow F = \frac{\beta \cdot M_{max}}{\mu \cdot i \cdot R_m} = \dots [N]$$

$$F = \frac{303,44}{0,45 \cdot 2 \cdot 0,1031} = 3270,17 [N]$$

5. Determinarea presiunii specifice dintre suprafețele de frecare:

$$p = \frac{F_i}{A'} \leq p_a = 0,15 \div 0,35 [MPa]$$

$$p = \frac{3270,17}{30202,875} = 0,108 [MPa]$$

p_a – presiunea admis. pt. garniturile din azbest

$$A' = \frac{\pi}{4} (D_s^2 - D_i^2)_{STAS} = \dots [mm^2]$$

$$A' = 30202,875 [mm^2]$$

$$p = \frac{3270,17}{30202,875} = 0,108 [MPa]$$

6. Verificarea la uzură:

Pentru aprecierea uzurii se calculează lucrul mecanic specific de frecare:

$$L_s = \frac{L}{2 \cdot n_d \cdot A'} \left[daN \cdot m / cm^2 \right], \text{ unde:}$$

A' – suprafața unei garnituri de frecare [cm^2]

n_d – numărul de discuri

L – lucrul mecanic de frecare

L se calculează aproximativ pentru mai multă siguranță prin două metode:

$$\text{a. } L_{aprox.} = \frac{\pi \cdot n \cdot r_r^2}{30 \cdot i_{CVI}^2 \cdot i_0^2} \cdot \left[\frac{G_a}{g} \cdot \frac{2\pi n}{7200} + \frac{G_a^2 \cdot \psi}{K} + \frac{2}{3} G_a \cdot \psi \cdot \sqrt{\frac{2}{K} \cdot \frac{G_a}{g} \cdot \frac{\pi \cdot n}{30}} \right]$$

și condiția este $L_S \leq L_{Sa} = 10 \div 12 \text{ [daN} \cdot \text{m/cm}^2]$

b. $L_{aprox.} = 357,3 \cdot G_a \cdot \frac{r_r^2}{i_0^2 \cdot i_{cv_I}^2}$ și condiția $L_S \leq L_{Sa} = 0,75 \text{ [daN} \cdot \text{m/cm}^2]$,

unde:

K

$= 30 \div 50 \text{ [daN} \cdot \text{m/s]}$

– coef. care arată gradul de creștere a mom. de frecare în timpul cuplării:

$G_a = \text{[daN sau kgf]}$ - greutatea automobilului

n - turăția motorului la pornirea de pe loc ($n \geq n_1$)

Pentru mai multă siguranță se poate face calculul cu:

$f = 0,02 \div 0,03$ – coef. de rezistență la rulare

$r_r = \dots \text{ [m]}$ – raza de rulare

i_{cv_I} – raportul în treapta I de viteză

i_0 – raport de transmitere principal

$\psi = f \cdot \cos \alpha_{max} + \sin \alpha_{max}$

$f = 0,02$

$r_r = 0,29775 \text{ [m]}$

$i_{cv_I} = 3,04$

$i_0 = 2,4947$

$\psi = 0,3114$

$n = 1400 \text{ [rpm]}$

$G_a = 1705 \text{ [daN]}$

$k = 50 \text{ [daNm/s]}$

$$a. \quad L_{aprox.} = \frac{\pi m r^2}{30 \cdot i_{cv_I}^2 \cdot i_0^2} \cdot \left[\frac{G_a}{g} \cdot \frac{2\pi n}{7200} + \frac{G_a^2 \cdot \psi}{K} + \frac{2}{3} G_a \cdot \psi \cdot \sqrt{\frac{2}{K}} \cdot \frac{G_a}{g} \cdot \frac{\pi m}{30} \right]$$

$$L_{aprox.} = 6688,97 [daN \cdot m]$$

$$L_s = 11,07 [daN \cdot m/cm^2]$$

$$b. \quad L_{aprox.} = 357,3 \cdot G_a \cdot \frac{r^2}{i_0^2 \cdot i_{cv_I}^2}$$

$$L_{aprox.} = 939,02 [daN \cdot m]$$

$$L_s = 0,1554 [daN \cdot m]$$

7. Verificarea la încălzire:

Se verifică la încălzire discul de presiune (din oțel sau fontă).

Creșterea de temperatură la cuplare:

$$\Delta t = \frac{\gamma \cdot L}{427 \cdot c \cdot M_p} [^{\circ}C], unde:$$

γ

– coeficient care exprimă cantitatea de lucru mecanic transformat în căldură.

$\gamma = 0,5$ pentru ambeia jumătățile monodisc

M_p = masa discului de presiune [kg]

$M_p = \rho \cdot \pi (R_{ep}^2 - R_{ip}^2) \cdot g_p$, unde:

$\rho_{oL} = 7,85 [kg/dm^3]$

$\rho_{fontă} = 7,25 [kg/dm^3]$

g_p – grosimea discului de presiune (10 ÷ 18mm)

Pentru C - căldura specifică a piesei verificate.

$$(C_{oile} \cong C_{fontă} \cong 0,115 \text{ kcal/kg} \cdot ^\circ\text{C})$$

$$R_{ep} = R_e + 3 \div 5 \text{ mm}$$

$$R_{ip} = R_i - 2 \div 4 \text{ mm}$$

Pentru $L_{calculat}$ cu metoda a. $\Delta t < 8 \div 15^\circ\text{C}$.

Pentru $L_{calculat}$ cu metoda b. $\Delta t < 1^\circ\text{C}$.

$$R_{ep} = 130 \text{ [mm]}$$

$$R_{ip} = 75 \text{ [mm]}$$

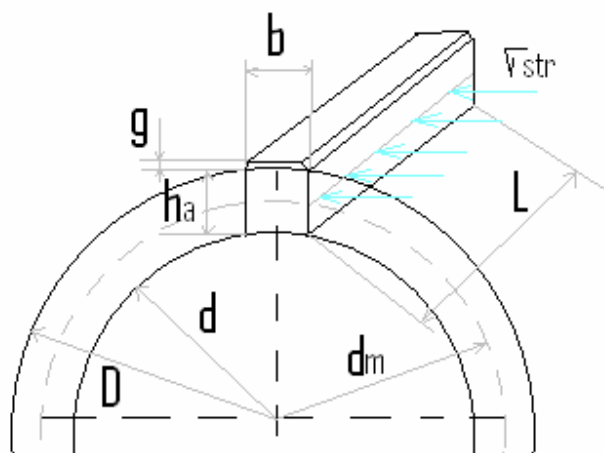
$$g_p = 18$$

$$M_p = 5,004 \text{ [kg]}$$

$$a. \Delta t = 13,62$$

$$b. \Delta t = 1,91$$

Calculul arborelui ambreiajului



$$h_a = h - 2a$$

$$h = \frac{D - d}{2}$$

- Din condiția de rezistență la strivire va rezulta lungimea canelurii:

$$\sigma_{str} = \frac{F}{A_{str}} = \frac{M_c \cdot 2}{d_m \cdot z \cdot h_a \cdot L \cdot k} \leq \sigma_{astr.}$$

$k = 0,75$ (coeficient de neuniformitate a suprafeței)

$$\sigma_{astr.} = 80 \div 100 \text{ MPa}$$

- Din condiția de rezistență la torsiune:

$$\tau_t = \frac{M_t}{W_p} = \frac{M_{max} \cdot \beta}{\frac{\pi \cdot d^3}{16}} \leq \tau_{at} = 90 \text{ MPa}$$

$$d_i = \sqrt[3]{\frac{M_{max} \cdot 16 \cdot \beta}{\pi \cdot \tau_{at}}} = \sqrt[3]{\frac{233 \cdot 16 \cdot 1,35 \cdot 10^3}{3,14 \cdot 100}} = 26,11 \text{ mm}$$

Conform STAS 7793-6:

$$d_i = 28 \text{ mm}$$

$$d_e = 34 \text{ mm}$$

$$b = 7 \text{ mm}$$

$$z = 6 \text{ caneluri}$$

Obs.: Centrare interioara.

$$L = (1,5 \div 2,5) \cdot d_i = 2,1 \cdot 28 = 58,8 \text{ mm}$$

$$h = \frac{d_e - d_i}{2} = 3 \text{ mm}$$

$$d_m = \frac{d_e + d_i}{2} = 31 \text{ mm}$$

$$\sigma_{str.} = \frac{F_{str.}}{A_{str.}} = \frac{M_{max} \cdot \beta \cdot 2}{z \cdot L \cdot h \cdot k \cdot d_m} \leq \sigma_{a_{str.}} = 25,57 \text{ MPa}$$

$$F_{str.} = \frac{2 \cdot M_{max} \cdot \beta}{d_m} = 20,3 \text{ N}$$

Etapa a III-a:

Calculul Arcului Diafragmă

Scopul etapei constă în trasarea curbei de variație (caracteristicii elastice) a forței în funcție de săgeata arcului.

La decuplare, indiferent de tipul arcului folosit pentru a crea forța de apăsare normală (pe garniturile de fricțiune), acesta trebuie să fie comprimate (de către rulment) peste valoarea la care forța de apăsare devine nulă (pentru a crea astfel un joc între suprafetele de frecare).

Jocul este necesar pentru a ne asigura că decuplarea ambreiajului se face complet.

Sägeata suplimentară Δf se calculează cu relația:

$$\Delta f = 2 \cdot n_d \cdot j_d, \text{ unde:}$$

$$n_d - \text{nr. de discuri}$$

$$j_d$$

– jocul necesar între garniturile de frecare și suprafața discului de presiune

$j_d = 0,75 \div 1,5$ [mm] (valorile mari sunt pentru discuri de ambreiaj cu $D_e \gg 180$ mm)

Se adoptă $j_d \Rightarrow \Delta f = \dots$ [mm]

$$j_d = 0,8$$
 [mm]

$$\Delta f = 1,6$$
 [mm]

Uzura admisibilă a unei garnituri este:

$$\Delta U_1 = 1,5 \div 2$$
 [mm] Se adoptă $\Delta U_{1adm} \Rightarrow \Delta U_{1adm} = 2 \cdot n_d \cdot \Delta U_1$

Obs.: Pentru arc diafragmă se consideră $\Delta U_1 = 1 \div 1,5$ [mm].

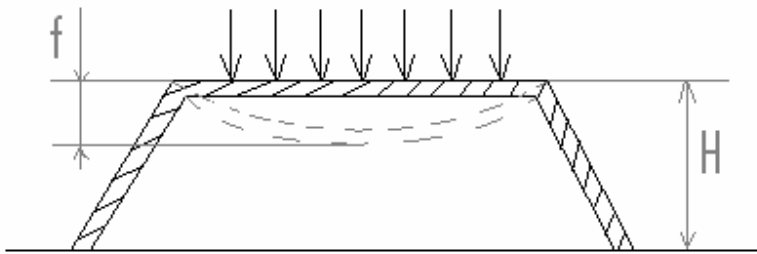
$$\Delta U_{1adm} = 2,6$$
 [mm]

Se adoptă jocul dintre capătul interior al arcului diafragmă și rulmentul de presiune.

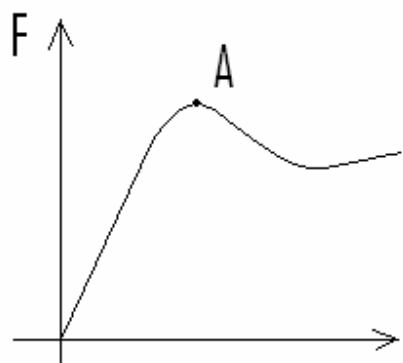
$$\delta = 1,5 \div 2,5 [mm]$$

$$\delta = 1,6 [mm]$$

A. Trasarea Caracteristicii

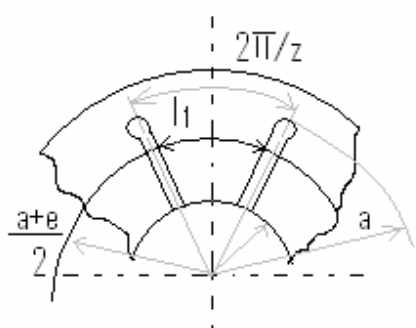


Funcție de raportul H/h , caracteristica arcului diferă ca alură. În cazul ambreiajelor de automobil se adoptă un raport $\sqrt{2} < H/h < 2$, care conduce la o formă a caracteristicii arcului ca în figura următoare:



După cum se observă, arcul diafragmă conține porțiuni cu rigiditate negativă pentru care creșterea săgeții duce la micșorarea forței de apăsare (regim instabil).

Punctul de lucru al arcului diafragmă se alege în A pentru ca variații mici ale săgeții să determine variații mici ale forței de apăsare. Pentru mărirea elasticității, arcurile diafragmă au practicate tăieturi radiale pe o anumită lungime.



Cu notațiile din figură, caracteristicile constructive ale arcului sunt:

$$R_1 < b < R_e \quad (b \cong R_e - (5 \div 15) \text{ mm})$$

f_1 – săgeata zonei fără tăieturi det. de ungh. de rotire φ .

$$a \cong b - (10 \div 25) \text{ mm}; c \cong a - \frac{1}{3}(b - a)$$

$$e \cong \frac{d_e}{2} + (3 \div 10) \text{ mm}, \text{ unde } d_e \text{ este diam. exterior al arborelui}$$

$f_2 = f'_2 + f''_2$ – săgeata zonei cu tăieturi a arcului

$z \geq 12$ – nr. de tăieturi

f'_2 – det. de rotirea cu $\neq \varphi$

f''_2 – det. de încov. lamelor arcului

Pentru ca arcul să se găsească în echilibru, momentul forțelor exterioare trebuie să fie egal cu momentul forțelor interioare din partea continuă a arcului.

Dacă se ține seama că f_1 este realizat prin rotirea cu $\neq \varphi \Rightarrow$ forța cu care arcul apasă discul de presiune este:

$$F = F_1 - F_2 \cdot \frac{c - e}{b - c} = \frac{\pi \cdot E' \cdot h}{6(b - c)} \cdot f_1 \cdot \ln \frac{b}{a} \left[\left(H - f_1 \cdot \frac{b - a}{b - c} \right) \cdot \left(H - \frac{f_1}{2} \cdot \frac{b - a}{b - c} \right) + h^2 \right]$$

unde:

H – înălțimea părții continue a arcului [mm]

H_t – înălțimea totală a arcului.

Din asem. de triunghiuri rezultă $H = H_t \cdot \frac{b-a}{b-e}$.

Se adoptă $H = 2,5 \div 4$ (max. 5 mm) și din $\frac{H}{h} \Rightarrow h = \dots$ [mm].

Valori standardizate: 1; 1,15; 1,25; 1,5; 1,75; 2; 2,25; 2,5.

Se calculează $H_t = \dots$ [mm]

Tot din asem. Triunghiurilor se obține rel. de legătură:

$$f_2' = f_1 \cdot \frac{c - e}{b - c}$$

f_2'' se calculează din relațiile deformației elastice:

$$f_2'' = F_2 \cdot \frac{6 \cdot e^2}{\pi \cdot E \cdot \eta \cdot h^3} \left[\frac{1}{2} \left(\frac{a^2}{e^2} - 1 \right) - 2 \left(\frac{a}{e} - 1 \right) + \ln \frac{a}{e} \right] = F_2 \cdot A \cdot \frac{6 \cdot e^2}{\pi \cdot E \cdot \eta \cdot h^3}$$

unde:

$A = f(a/e)$ - (se poate determina și grafic)

Coefficientul $\eta = \frac{l_1}{\pi(a+e)}$, unde l_1 - lățimea unei lamele (vezi fig.)

z – numărul de tăieturi

Tinând seama de faptul că lățimea unei tăieturi este de 2...4 [mm], se calculează $l_1 \Rightarrow \eta = \dots [mm]$.

Relația forței F_1 cu care apasă arcul asupra garniturilor de fricțiune în absența forței F_2 ($F_2 = 0$ – nu este acționat ambreiajul), se poate scrie:

$$F_1 = \frac{\pi \cdot E' \cdot h}{6(b-c)} \cdot \frac{f_1}{h} \cdot \ln \frac{b}{a} \left[\left(H - \frac{f_1}{h} \cdot \frac{b-a}{b-c} \right) \cdot \left(\frac{H}{h} - \frac{f_1}{2h} \cdot \frac{b-a}{b-c} \right) + 1 \right]$$

Dacă notăm mărimile adimensionale \vec{F}_1 și \vec{f}_1 astfel:

$$\vec{F}_1 = F_1 \cdot \frac{6(b-c)^2}{\pi \cdot E' \cdot h^4}$$

și

$$\vec{f}_1 = \frac{f_1}{h}$$

obținem:

$$F_1 = f_1 \cdot \ln \frac{b}{a} \left[\left(\frac{H}{h} - f_1 \cdot \frac{b-a}{b-c} \right) \cdot \left(\frac{H}{h} - f_1 \cdot \frac{b-a}{2(b-c)} \right) + 1 \right]$$

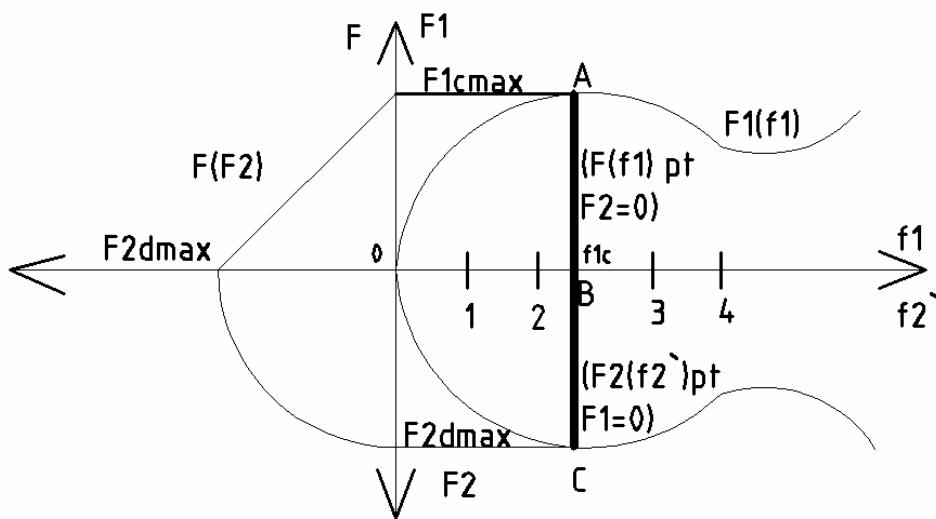
Caracteristica externă va arăta ca în figura următoare. În cadrul I se găsește graficul

$\vec{F}_1(\vec{f}_1)$. Când $\vec{F}_2 = \mathbf{0}$, graficul indică variația forței de apăsare a arcului asupra garniturii de fricțiune $\vec{F}(\vec{f}_1)$.

$$E' = \frac{E}{1 - \mu_p^2} = \frac{2,1 \cdot 10^5}{1 - 0,275^2} [MPa]$$

E – modului de elasticitate longitudinal (modulul lui Young);

μ_p – coeficientul Poisson.



Procedeu de lucru:

Se calculează cu pas de 0,1 pentru săgeata adimensională \vec{f}_1 forța de apăsare \vec{F}_1 și se completează tabelul.

\vec{f}_1	\vec{F}_1	$f_1 = \dots [mm]$	$F_1 = \dots [N]$
0,1	0,0490273	0,25	569,514914
0,2	0,0931332	0,5	1081,8618
0,3	0,1325535	0,75	1539,78034
0,4	0,1675243	1	1946,01022
0,5	0,1982811	1,25	2303,29111
0,6	0,2250601	1,5	2614,36271
0,7	0,2480968	1,75	2881,96468
0,8	0,2676273	2	3108,83672
0,9	0,2838874	2,25	3297,7185
1	0,2971129	2,5	3451,34972
1,1	0,3075397	2,75	3572,47003

1,2	0,3154036	3	3663,81914
1,3	0,3209404	3,25	3728,13673
1,4	0,3243861	3,5	3768,16246
1,5	0,3259764	3,75	3786,63604
1,6	0,3259472	4	3786,29713
1,7	0,3245344	4,25	3769,88542
1,8	0,3219738	4,5	3740,14059
1,9	0,3185012	4,75	3699,80233
2	0,3143526	5	3651,61031
2,1	0,3097637	5,25	3598,30422
2,2	0,3049703	5,5	3542,62374
2,3	0,3002085	5,75	3487,30855
2,4	0,2957139	6	3435,09833

Deoarece ambreiajul trebuie să asigure și jocul Δf dintre garnituri și discul de presiune sau volant, pentru decuplarea completă va trebui să continuăm calculul după aflarea forței maxime pentru o comprimare implementară cu valoarea Δf .

Forța maximă $F_{1_{max}}$ din tabelul de mai sus va deveni forța la cuplare și de aceea trebuie să fie cel puțin de valoarea forței de apăsare F calculată în etapa anterioară.

Condiția 1 este ca: $F_{1_{max}} \geq F_{calculat}$.

Ambreiajul trebuie să asigure și transmiterea momentului M_{max} după uzura garniturilor (până la valoarea admisibilă Δu_1). De aceea, în tabel și în grafic trebuie să avem îndeplinită condiția 2:

$$F_1 \left(f_{1e} - \Delta u_{admis} \geq \frac{M_{max}}{\mu \cdot i \cdot R_m} \right)$$

Adică să putem transmite momentul maxim până când β devine 1.

În cadranul IV al graficului se va găsi graficul forței de apăsare a rulmentului de presiune $\vec{F}_2 (\vec{f}_2')$, unde: $\vec{f}_2' = \frac{c-e}{b-c} \cdot \vec{f}_1$ și $\vec{F}_2 = \frac{b-c}{c-e} \cdot \vec{F}_1$ (relație obținută din condiția de echilibru).

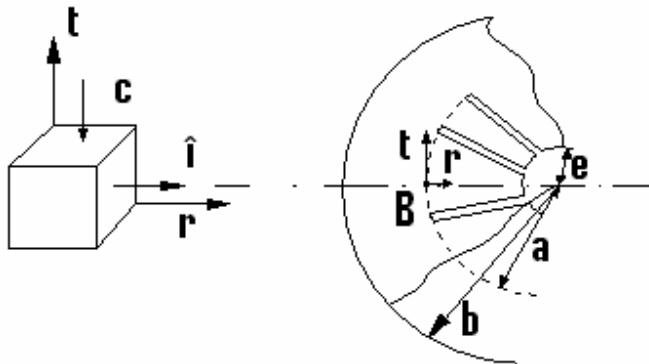
În cadranul II al graficului este reprezentată scăderea forței de apăsare rezultante a arcului când $F_1 = F_{1_{max}}$ și se apasă pedala ambreiajului, aşadar crește F_2 până la anularea lui \vec{F}_1 (decuplare).

$$\vec{F} = \vec{F_1} - \vec{F_2} \cdot \frac{\vec{c} - \vec{e}}{|\vec{b} - \vec{c}|}$$

$\vec{f^2}$	$\vec{F^2}$	f2	F2[N]
0,45434	0,013074	1,135849	151,8706
0,900715	0,024836	2,251788	288,4965
1,339508	0,035348	3,348771	410,6081
1,771101	0,044673	4,427751	518,9361
2,195874	0,052875	5,489684	614,211
2,614209	0,060016	6,535523	697,1634
3,026489	0,066159	7,566223	768,5239
3,433095	0,071367	8,582737	829,0231
3,834408	0,075703	9,586021	879,3916
4,230811	0,07923	10,57703	920,3599
4,622684	0,082011	11,55671	952,6587
5,01041	0,084108	12,52603	977,0184
5,39437	0,085584	13,48593	994,1698
5,774946	0,086503	14,43737	1004,843
6,15252	0,086927	15,3813	1009,77
6,527473	0,086919	16,31868	1009,679
6,900186	0,086543	17,25047	1005,303
7,271043	0,08586	18,17761	997,3708
7,640423	0,084934	19,10106	986,614
8,008709	0,083827	20,02177	973,7627
8,376283	0,082604	20,94071	959,5478
8,743526	0,081325	21,85882	944,6997
9,11082	0,080056	22,77705	929,9489
9,478547	0,078857	23,69637	916,0262

Etapa a IV-a:

Calculul de rezistență a arcului tip diafragmă



În cazul arcului diafragmă cu tăieturi după generatoare, solicitarea maximă apare în porțiunea circulară ce trece prin pct. B (vezi figura).

Considerăm starea de eforturi unitară biaxială. Eforturile unitare normale vor fi:

a). Efortul de compresiune:

$$\sigma_c = \frac{E}{2(1-\mu^2)} \cdot \frac{(a-d) \cdot \alpha^2 - h\alpha}{a} \quad (a, b, \mu \text{ din etapa anterioară [mm]})$$

la care:

$$d = \frac{b-a}{\ln \frac{b}{a}}, \quad \alpha = \frac{H}{b-e} - \text{unghiul de înclinare al arcului (tg.unghiului)}$$

$$d = \frac{115 - 100}{0,139762} = 107,3253$$

$$\alpha = \frac{4,1}{115 - 20} = \frac{4,1}{95} = 0,0431579$$

$$a = 100 \text{ [mm]}$$

$$b = 115 \text{ [mm]}$$

$$\mu = 0,45 \text{ [mm]}$$

$$\sigma_c = \frac{210000}{2(1 - 0,45^2)} \cdot \frac{(100 - 107,32) \cdot 0,0431579^2 - 2,5 \cdot 0,0431579}{100}$$

$$\sigma_c = 131661,442 \cdot (-0,00121529)$$

$$\sigma_c = -160,0069 \text{ MPa}$$

b). Efortul la încovoiere:

$$\sigma_i = \frac{3}{\pi} \cdot \frac{F_2}{h^2 \cdot \eta}$$

$$h = 2,5 \text{ [mm]}$$

$$\eta = 0,999995$$

$$\sigma_i = \frac{3}{3,14} \cdot \frac{1009,77}{2,5^2 \cdot 0,99995}$$

$$\sigma_i = 154,367 \text{ MPa}$$

Se va calcula efortul echivalent $\sigma_{ech} = |\sigma_i| + |\sigma_d|$.

$$\sigma_{ech} = 314,3739 \text{ MPa}$$

Se alege un oțel pentru arcuri (STAS 795-77).

Ex.: 51 V Cr 11 A, 60 Si 15 A, OLC 85 A etc.

Dacă $\sigma_{ech.} \leq \sigma_{0,2/c}$ (rezist. la curgere) \Rightarrow materialul este corect ales.

$c = \text{coef. de siguranță}$

$$c = 2 \div 5$$

Material: 51 Si 17 A

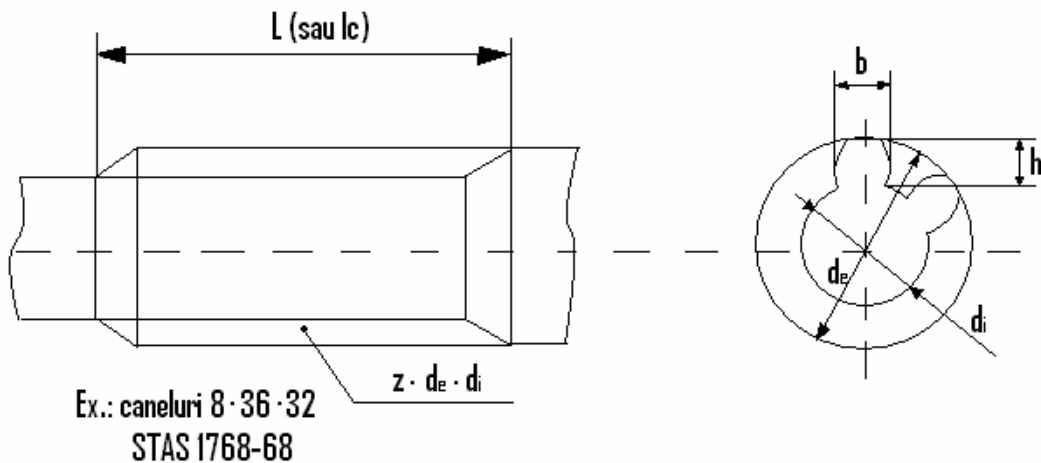
$$\sigma_{ech.} = \frac{\sigma_{0,2}}{c} = \frac{1080}{3} = 360 \text{ MPa}$$

$\sigma_{ech.} \leq \sigma_{0,2/c} \Rightarrow$ verifică condiția de rezistență;

Calculul arborelui ambreiajului

Arboarele ambreiajului (care este în acest caz cât și arborele primar al cutiei de viteze) are o porțiune corelată pe care se deplasează butucul discului condus.

Solicitarea principal este cea de torsiune cu M_c (momentul de calcul al ambreiajului).



$$\tau_t = \frac{M_c}{W_p} = \frac{16 \cdot \beta \cdot M_{max}}{\pi \cdot d^3}$$

După calcul, se compară cu $\tau_{at} = 100 \div 120 \text{ MPa} \Rightarrow \tau_t \leq \tau_{at}$.

În cazul nostru (se dorește dimensionarea), pornim însă de la adoptarea lui τ_{at} (adoptarea materialului). Diametrul interior va fi $d_i = \sqrt[3]{\frac{M_{max} \cdot 16 \cdot \beta}{\pi \cdot \tau_{at}}} \text{ [mm]}$.

$$d_i = \sqrt[3]{\frac{M_{max} \cdot 16 \cdot \beta}{\pi \cdot \tau_{at}}} = \sqrt[3]{\frac{233 \cdot 16 \cdot 1,35 \cdot 10^3}{3,14 \cdot 100}} = 26,11 \text{ mm}$$

Din STAS 1768-68 =>

$$d_i = 28 \text{ mm}$$

$$d_e = 34 \text{ mm}$$

$$b = 7 \text{ mm}$$

z = 6 caneluri

$$L = (1,5 \div 2,5) \cdot d_i = 2,1 \cdot 28 = 58,8 \text{ mm} \text{ (optional)}$$

$$L = 47,6 \text{ mm}$$

$$h = \frac{d_e - d_i}{2} = 3 \text{ mm}$$

Atât canelurile arborelui cât și cele ale butucului sunt supuse la strivire. Considerând raza medie a canelurilor:

$$r_m = \frac{d_e + d_i}{4} \Rightarrow \text{forța care solicită canelurile la strivire și forfecare va fi:}$$

$$F = \frac{M_c}{r_m} = \frac{4 \cdot M_{max} \cdot \beta}{d_e + d_i} = 20320 \text{ N}$$

Presiunea de strivire este:

$$p_s = \frac{F}{z \cdot A_s}, \text{ unde } A_s = \text{aria de strivire (supraf. caneluri)}$$

z – nr. de caneluri

$$A_s = L \cdot h = 34 \cdot 3 = 142,8 \text{ [mm}^2\text{]}$$

$$p_s = \frac{2F}{z \cdot L \cdot (d_e - d_i)} = \frac{8 \cdot \beta \cdot M_{max}}{z \cdot L \cdot (d_e^2 - d_i^2)}$$

În care:

$$M_{max} [\text{Nm}]$$

L (sau l_c) – lungimea butucului discului de ambreiaj

Se recomandă $L = d_e$ [mm] pentru autoturisme obisnuite

$L = 1,4 \cdot d_e$ [mm] pentru autoturisme sport

$$p_s = 23,71 \text{ MPa}$$

Dacă $p_s \leq p_{sa}$ ($20 - 25 \text{ MPa}$) se va face verificarea la forfecare.

$\tau_f = \frac{F}{2 \cdot A_f}$ – tensiunea tang. de forfecare se compară cu τ_{af} .

$$A_f = b \cdot L - \text{aria de forfecare} [\text{mm}^2]$$

b – lățimea canelurilor

Valorile admisibile ale $\tau_{af} = 20 \div 30 \text{ MPa}$.

$$A_f = 7 \cdot 47,6 = 333,2 \text{ [mm}^2\text{]}$$

$$\tau_f = \frac{F}{2 \cdot A_f} = \frac{20320}{2 \cdot 333,2} = 30,5 \text{ MPa}$$

Observație:

Considerând valorile adoptate pentru rezistențele admisibile se alege din STAS 791-88 un material pentru arbore (oțeluri de cementare).

Material arbore ambreiaj: 18MnCr11.

Definiție:

Oțelurile de cementare sunt oțeluri la care stratul superficial de carbon este îmbogățit, prin încălzirea și menținerea la o temperatură superioară zonei de transformare, într-un mediu carburant lichid, solid sau gazos. După cementare urmează călirea și o revenire la temperaturi între 150 – 200 grade Celsius, pentru eliminarea tensiunilor remanente din material.

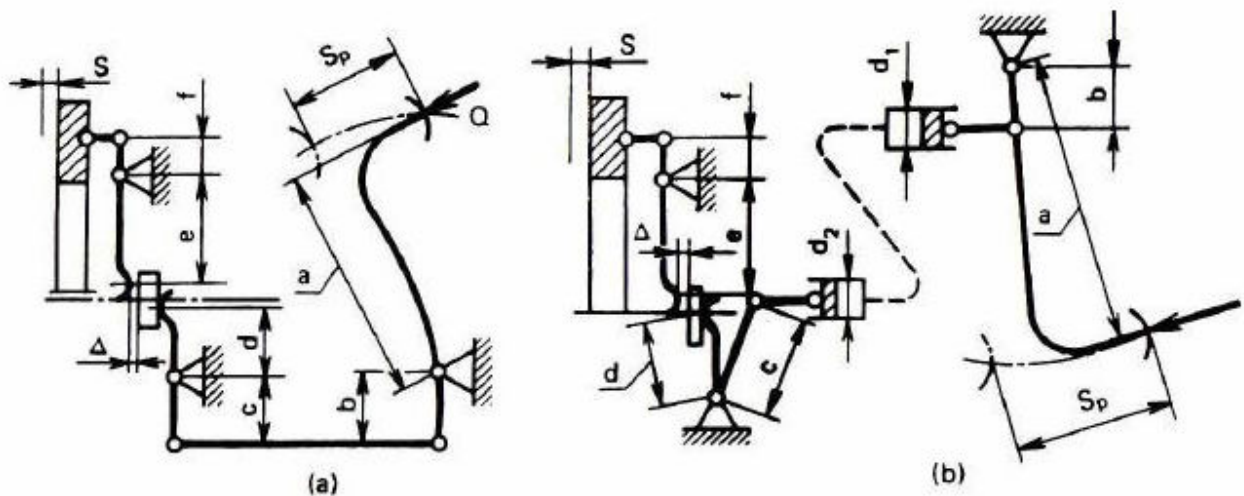
După prelucrarea suprafețelor canelate se tratează prin călire prin curenți de înaltă frecvență (C.I.F.).

C.I.F. este un procedeu de călire superficială la care încălzirea se face prin inducție electromagnetică.

Se aplică pieselor de oțel (cu conținut de carbon de 0,3... . 0,8 %) sau de fontă, pentru obținerea unei structuri martensitice dure (duritate 56... 62 HRC) la suprafață, concomitent cu menținerea structurii moi, maleabile, în miezul pieselor.

După încălzirea la cca. 900°C, se face răcirea în apă, ulei sau aer.

Calculul mecanismului de acționare



După cum se vede în figură, sistemele de acționare a ambreiajului sunt de două feluri:

- a) sistem de acționare mecanic
- b) sistem de acționare hidraulic

În funcție de complexitatea și mărimea ambreiajului, fiecare producător auto alege ce tip de mecanism de acționare să monteze pe un autovehicul. Totuși, pentru a afla care mecanism se potrivește, se fac în prealabil o serie de calcule care ajută la determinarea unor dimensiuni cum ar fi: lungimea pedalei, lungimea pârghiei de debriere și altele.

- În concluzie, pentru un sistem mecanic de acționare vom folosi următoarele relații:

Forța de apăsare a pedalei:

$$F_p = F \cdot \frac{b \cdot d \cdot f}{a \cdot c \cdot e} \cdot \frac{1}{\eta_a}, \text{ unde: } F = \frac{\beta \cdot M_{max}}{\mu \cdot i \cdot R_m} - \begin{matrix} \text{forța de apăsare a discului} \\ \text{de presiune} \end{matrix}$$

$$\eta_a = 0,5 \div 0,6 \text{ (randamentul mecanismului de acționare)}$$

$$F_p = 10 \div 15 \text{ daN (autoturisme)}$$

Cursa pedalei va fi:

$$S_p = (S_l + e/f \cdot S_d) \cdot \frac{c}{d} \cdot \frac{a}{b} \quad (S_p = 100 \div 150 \text{ mm la autoturisme})$$

$$S_d = 0,75 \div 1,5 \text{ mm (cursa discului de presiune)}$$

$$S_l = 1,5 \div 4 \text{ mm (jocul dintre manșon și pârghie)}$$

- Pentru sistemele de acționare hidraulice, se regăsesc următoarele relații:

d_1 – diametrul (alezajul) cilindrului pompei principale

d_2 – diametrul (alezajul) cilindrului receptor

Forța de apăsare a pedalei:

$$F_p = F \cdot \frac{b \cdot d \cdot f}{a \cdot c \cdot e \cdot \eta_a} \cdot \left(\frac{d_1}{d_2} \right)^2$$

$$\eta_a = 0,8 \div 0,95$$

Cursa pedalei va fi:

$$S_p = \left(S_l + \frac{e}{f} \cdot S_d \right) \cdot \frac{c}{d} \cdot \frac{a}{b} \cdot \left(\frac{d_2}{d_1} \right)^2$$

Astfel:

$$F = \frac{303,44}{0,45 \cdot 2 \cdot 0,1031} = 3270,17 [N]$$

$$\eta_a = 0,6$$

$$f' = 20 [mm]$$

$$e' = 75 [mm]$$

$$d' = 30 [mm]$$

$$c' = 95 [mm]$$

$$a' = 190 [mm]$$

$$b' = 45 [mm]$$

$$F_P = F \cdot \frac{b \cdot d \cdot f}{a \cdot c \cdot e} \cdot \frac{1}{\eta_a} = 3270,17 \cdot \frac{45 \cdot 30 \cdot 20}{190 \cdot 95 \cdot 75} \cdot \frac{1}{0,6} = 108,705 [N]$$

$$S_l = 2,5 [mm]$$

$$S_d = 1,5 [mm]$$

$$S_P = (2,5 + 75/20 \cdot 1,5) \cdot \frac{95}{30} \cdot \frac{190}{45} = 108,63 [mm]$$

Etapa a V-a:

Calculul cutiei de viteze mecanice, în trepte

a). Calculul roților dințate:

Numărul treptelor de viteză precum și rapoartele de transmitere ale treptelor se determină din calculul dinamic al autovehiculului.

Soluția constructivă de realizare a cutiei de viteze depinde de tipul autovehiculului și organizarea acestuia. Astfel, la autoturismele organizate după soluția clasică, de obicei se utilizează cutii de viteze cu trei arbori, în timp ce la autoturismele organizate după soluția "totul în față" sau "totul în spate" se preferă cutiile de viteze cu doi arbori, din motive legate de reducerea gabaritului. La autocamioane și autobuze cutiile de viteze sunt de

tipul cu trei arbori; la unele autocamioane se utilizează și cutii de viteze compuse. La tractoare se întâlnesc atât cutiile de viteze cu doi arbori, cât și cele cu trei arbori sau compuse (care permit obținerea unui număr mare de rapoarte de transmitere).

Pentru cuplarea treptelor de mers înainte în prezent este practice generalizată soluția cu roți dințate angrenate permanent și mufe cu dispozitive de cuplare. La unele camioane, autobuze și tractoare, pentru treptele inferioare se mai utilizează soluția de cuplare a treptelor prin deplasarea axială a roților. Această soluție este utilizată și pentru treapta de mers înapoi.

Pentru calcule de predimensionare a cutiei de viteze, modulul normal al roților dințate se poate determina cu ajutorul nomogramei din fig. 120, în funcție de cuplul la arborele secundar în prima treaptă a cutiei de viteze.

Cuplul la arborele secundar pentru prima treaptă se determină cu relația:

$$M_s = M_{e\ max} \cdot i_{k1} \cdot \eta_{cv}$$

în care $M_{e\ max}$ este cuplul maxim al motorului [$\text{daN}\cdot\text{m}$], i_{k1} este raportul de transmitere al primei trepte de viteze, iar η_{cv} este randamentul cutiei de viteze (0.9...0.95). Valorile recomandate ale modulului sunt cele în zona cuprinsă între cele două linii groase; pentru autoturisme se prefer valorile inferioare (ce permit micșorarea gabaritului), în timp ce pentru autobuze, camioane se vor utiliza valorile superioare ale modulului.

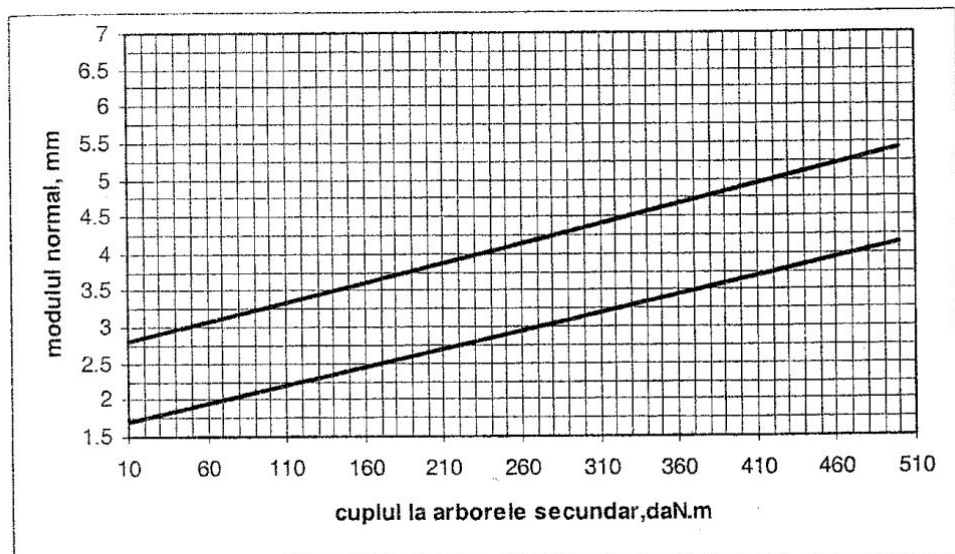


Fig. 120 – Nomogramă pentru determinarea preliminară a modului normal

Valorile standardizate ale modulului normal sunt prezentate mai jos.

Valorile de pe poziția I sunt cele preferate, dar pentru autoturisme se admite și folosirea modulilor de pe poziția II.

I	2		2. 5		3		4		5		6		8		1 0		1 2
I		2.2		2.7		3. 5		4. 5		5. 5		7		9		1	
I		5		5		5		5		5		7		9		1	

$$M_s = 233,41 \cdot 3,04 \cdot 0,92 = 652,8 \text{ N} \cdot \text{m} = 65,28 \text{ daN} \cdot \text{m}$$

$$m_n = 2,5 \text{ mm}$$

$$A^* = 26 \cdot \sqrt[3]{M_{\max}}$$

$$A = 26 \cdot \sqrt[3]{23,341} = 74,3 \text{ mm}$$

$$z_{1\min} = \frac{2 \cdot (1 - x) \cdot \cos \beta}{\sin^2 \alpha_f}$$

$$\tan \alpha_f = \frac{\tan \alpha}{\cos \beta}$$

$$\alpha = 20^\circ$$

Unghiul de înclinare a danturii:

$$\beta = 25^\circ$$

Treapta	I	II	III	IV
Perechi de roți dințate	z_1	z_3	z_5	z_7
	z_2	z_4	z_6	z_8

$$z_{1\min} = \frac{2 \cdot \cos 25^\circ}{\sin^2 21,876} = 13$$

$$z_1 = 13$$

$$A_{calc.} = \frac{m \cdot (z_1 + z_3)}{2 \cdot \cos \beta}$$

$$A_{calc.} = \frac{2,5 \cdot (13 + 39)}{2 \cdot \cos 25} = 71,71 \text{ mm}$$

$$z_2 = i_{cv1} \cdot z_1 = 39,52 \Rightarrow z_2 = 39 \text{ dinți}$$

$$z_3 = \frac{2 \cdot A \cdot \cos \beta}{m \cdot (1 + i_{cv2})}$$

$$z_3 = \frac{2 \cdot 71,71 \cdot \cos 25}{m \cdot (1 + 2,09)} = 16,82 \Rightarrow z_3 = 17 \text{ dinți}$$

$$z_4 = z_2 \cdot i_{cv2} = 17 \cdot 2,098 = 35,66 \Rightarrow z_4 = 35 \text{ dinți}$$

$$z_5 = \frac{2 \cdot A \cdot \cos \beta}{m \cdot (1 + i_{cv3})}$$

$$z_5 = \frac{2 \cdot 71,71 \cdot \cos 25^\circ}{2,5 \cdot (1 + 1,4486)} = 21,23 \Rightarrow z_5 = 21 \text{ dinți}$$

$$z_6 = z_5 \cdot i_{cv3} = 21 \cdot 1,4486 = 30,41 \Rightarrow z_6 = 31 \text{ dinti}$$

$$z_7 = \frac{2 \cdot A \cdot \cos \beta}{m \cdot (1 + i_{cv4})}$$

$$z_7 = \frac{2 \cdot 71,71 \cdot \cos 25^\circ}{2,5 \cdot (1 + 1)} = 25,99 \Rightarrow z_7 = 26 \text{ dinti}$$

$$z_8 = 25 \text{ dinti}$$

Diametrele de divizare ale roților dințate:

d_1	d_2	d_3	d_4	d_5	d_6	d_7	d_8
32,5	97,5	42,5	87,5	52,5	77,5	65	62,5

Etapa a VI-a:

Calculul arborilor cutiei de viteze

Date inițiale:

- Puterea nominală de transmis și momentul maxim:

$$P = 81,35 \text{ kW}$$

$$M_{e\ max} = 233,41 \text{ N} \cdot \text{m}$$

- Turația arborelui motor:

$$n_p = 4200 \text{ rpm}$$

$$\omega_p = \frac{\pi \cdot n_p}{30} = 439,822 \text{ s}^{-1}$$

- Raporturi de transmitere:

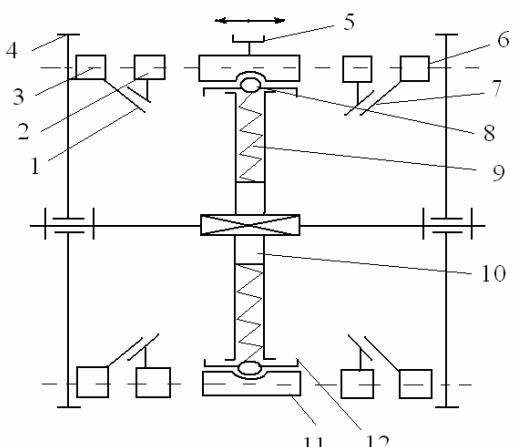
Treapta	I	II	III	IV
$i_{teoretic}$	3,04	2,098	1,4486	1
i_{real}	3	2,058	1,476	1

- Alegerea schemei de organizare a cutiei de viteze:

- Alegerea tipului de sincronizator:

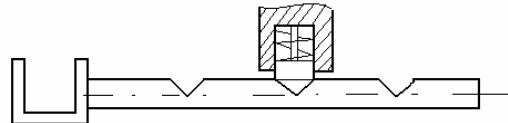
Spre exemplu, sincronizator conic cu inerție cu inele de blocare și dispozitiv de fixare cu bile.

- 1 - supraf. tronconică
- 2 - inel de blocare
- 3, 6 – dantură de cuplare
- 4 - roată dințată
- 5 - guler coroană
- 7 - supraf. tronc. inel.
- 8 - bilă
- 9 - arc
- 10 - manșon
- 11 - dantură manșon
- 12 - pastilă

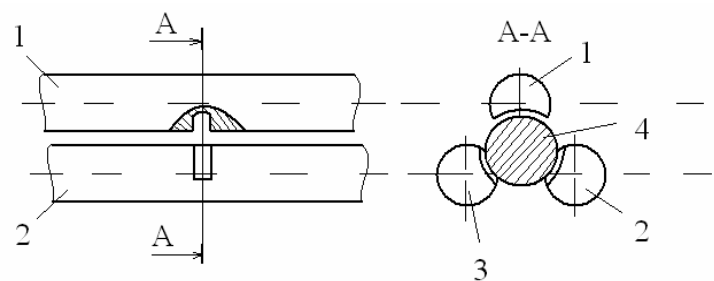


2. Soluția de fixare și blocare a treptei de viteză:

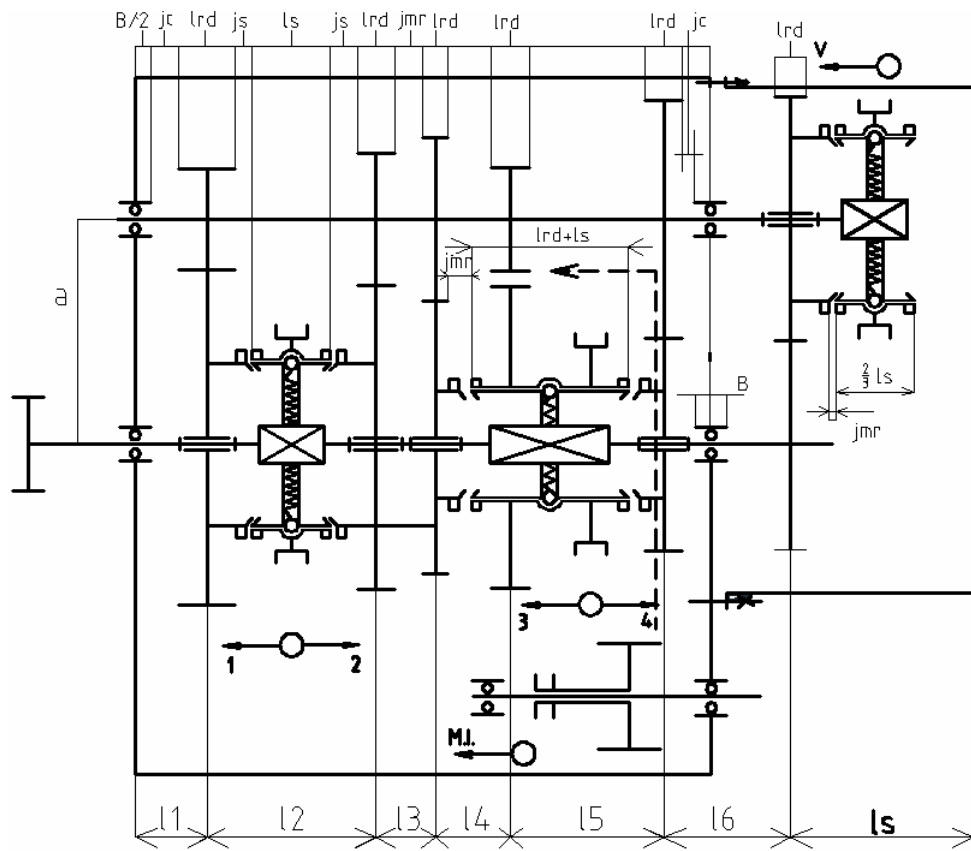
a. Dispozitiv de fixare:



b. Dispozitiv de blocare:



3. Schema cinematică :



b – lățimea roților dințate

$$b = 25 \text{ mm}$$

$$l_1 = \frac{B}{2} + j_c + \frac{l_{rd}}{2}$$

$$l_2 = \frac{l_{rd}}{2} + 2 \cdot j_s + l_s + \frac{l_{rd}}{2}$$

$$l_3 = \frac{l_{rd}}{2} + j_{mr} + \frac{l_{rd}}{2}$$

$$l_4 = \frac{l_{rd}}{2} + j_{mr} + \frac{l_{rd}}{2}$$

$$l_5 = \frac{l_{rd}}{2} + l_s + j_{mr} + \frac{l_{rd}}{2}$$

$$l_6 = \frac{l_{rd}}{2} + j_c + B + j_c + \frac{l_{rd}}{2}$$

$$l_7 = \frac{l_{rd}}{2} + j_{mr} + \frac{2}{3} \cdot l_s$$

B = (0,3 ÷ 1) · d_p – lățimea lagărelor

j_c = (3 ÷ 4)mm – jocul dintre roțile dințate și carcasa

l_{rd} = 1,4 · b – lungimea transonului pe care se montează roata dințată

j_s = (2 ÷ 3) mm – jocul dintre roți și sincronizator

j_{mr} = (4 ÷ 5)mm – jocul dintre părțile aflate în mișcare relativă

l_s = (1 ÷ 1,5) · d_p – lățimea sincronizatorului

$$B = 24 \text{ mm}$$

$$j_c = 3,5 \text{ mm}$$

$$l_{rd} = 35 \text{ mm}$$

$$j_s = 2,5 \text{ mm}$$

$$j_{mr} = 4 \text{ mm}$$

$$l_s = 42 \text{ mm}$$

$$l_1 = 33 \text{ mm}$$

$$l_2 = 82 \text{ mm}$$

$$l_3 = 39 \text{ mm}$$

$$l_4 = 39 \text{ mm}$$

$$l_5 = 81 \text{ mm}$$

În urma calculelor de rezistență s-au determinat diametrele pentru tronsoanele celor patru trepte ale cutiei de viteze.

De menționat este faptul că pentru a îmbunătăți procesul de calcul, calculele au fost realizate în proporție de 50 de procente în Microsoft Excel.

Schema de încărcare pentru treapta I este anexată în proiect.

Pentru arborele I, momentele echivalente și dimensiunile au fost surprinse în tabelul următor:

Treapta	a	b	r	M_{ech}	d*	d
I	33	274	16,25	508,7	37,28	38
II	115	192	21,25	881,6	44,78	45
III	154	153	26,25	776,8	42,93	43
IV	274	33	32,5	353,6	33,03	34
u.m.	[mm]	[mm]	[mm]	[N·m]	[mm]	[mm]

De asemenea, pentru arborele al II-lea, momentele echivalente și dimensiunile au fost surprinse în tabel:

Treaptă	<i>a</i>	<i>b</i>	<i>c</i>	<i>r</i>	<i>M_{ech}</i>	<i>M_s</i>	<i>d*</i>	<i>d</i>
I	33	274	33	48,75	1308,02	652,8	51,08	52
II	115	192	33	43,75	903	450,6	45,14	46
III	154	153	33	38,75	625,5	311,1	39,9	40
IV	274	33	33	31,25	467,8	233,4	36,25	37
u.m.	[mm]	[mm]	[mm]	[mm]	[N·m]	N·m	[mm]	[mm]

Schema cinematică a cutiei de viteze se atașează în proiect, la scara 1:2.